

# PINP 结构 a-Si H 多色光电探测器 电路模型研究

陈维友 刘式墉

(吉林大学电子工程系 长春 130023)

**摘要** 本文以 PINP 结构各区载流子速率方程为基础, 综合考虑了各区的多种物理过程, 在适当的近似条件下, 给出一个完整的 PINP 多色光电探测器电路模型。该模型的模型参数直接与各区的几何及电学参数相联系, 对于器件的优化设计尤其方便。该模型可在开发 OEIC 电路模拟软件中采用, 亦可加到现有电路模拟软件中。它可用于直流、交流、瞬态分析。

EEACC: 4140, 4130, 1130B

## 1 引言

对光电集成回路(OEIC)进行计算机辅助分析(CAA)是设计高性能OEIC 的一个重要环节。实现 OEIC-CAA 的首要任务是开发光电子器件电路模型, 电路模型的优劣直接关系到模拟软件的质量和模拟结果的精度。微电子电路的CAA 已经比较成熟, 国际上已有很多模拟软件推出, SPICE 就是其中最为著名的一个。随着电子技术的发展, 会涌现出现有模拟器所不能处理的新结构、新功能器件, 这样, 就需要不断地对现有软件进行完善和扩充。因此, 可以说科技不停步, CAA 软件开发与完善工作就不会终止。目前微电子CAA 的发展趋势是把工艺模拟、器件模拟和电路模拟有机地结合起来, 形成一个具有良好用户界面的集成设计系统。OEIC-CAA 工作只是近几年的事。目前的主要工作是开发各种光电子器件电路模型。已开发的光电子器件电路模型有体材料半导体激光器电路模型<sup>[1~3]</sup>、量子阱结构半导体激光器电路模型<sup>[4]</sup>、MSM 光电二极管电路模型<sup>[5]</sup>、PIN 光电二极管电路模型<sup>[6]</sup>、PIN 雪崩光电二极管电路模型<sup>[7]</sup>等。

氢化非晶硅(a-Si H)因其成本低、工艺简单而成为重要的半导体材料。由于氢化非晶硅具有低的载流子迁移率和高的光敏感性, 是制作诸如太阳能电池、光探测器、光导摄像管、光晶体管、色感器等光敏感器件的理想材料。PINP(NIPN)结构氢化非晶硅多色光探测器<sup>[8~10]</sup>对于识别可见光三原色(红、绿、蓝), 实现小型化的探测器阵列集成有很大发展潜力。Cesare 给出一个简单的 PINP 两色光探测器 SPICE 电路模型<sup>[8]</sup>, 模拟结果与实验结果

陈维友 1965 年出生, 博士, 副教授, 现任吉林大学电子工程系副主任, 电子科学与技术研究所副所长, 主要从事光电子器件和光波导器件 CAD 工作 E-mail: chw@mail.jlu.edu.cn

刘式墉 1935 年出生, 教授, 博士生导师, 主要研究方向为聚合物发光器件, 光波导理论, 光电子器件 CAD  
1998-02-07 收到, 1998-07-07 定稿

符合较好。这个模型是从器件的工作特性构造出来的宏观模型，其中许多参数需经过参数提取得到。由于该模型不是从器件的微观物理机制得来，因此，不能细致考虑各区的物理现象，特别是不能用于反向结出现雪崩的情况。本文以 P N IP 结构各区载流子速率方程为基础，综合考虑了各区的多种物理过程，如光吸收、载流子复合、扩散、漂移以及碰撞离化等，给出一个完整的 P N IP 光探测器电路模型。

## 2 P IN IP-PD 电路模型

图 1(a) 是 P N IP 一维结构示意图，图中给出本征区电场方向的各区载流子流动情况

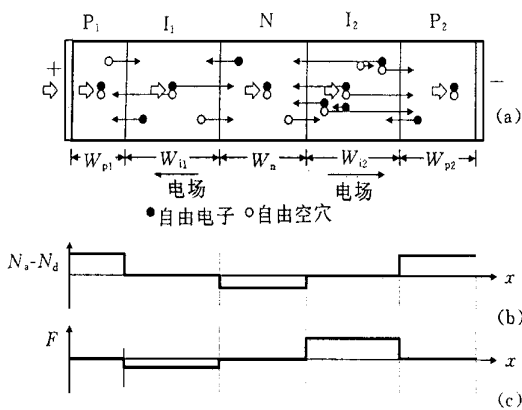


图 1 (a) P N IP-PD 一维结构示意图，  
(b) 理想 P N IP 掺杂情况，  
(c) 理想 P N IP 结构电场分布

为简单起见，我们假定 P N IP 结构是理想的，掺杂情况如图 1(b) 所示。对于实际器件，本征区不一定完全是本征的，可能是 p 型或 n 型，但只要 P、N 区的掺杂远大于 I 区，理想 P N IP 假定是合理的。此外我们假定在 P、N 区内的耗尽区宽度远小于本征区宽度，可忽略：P、N 区内电场为 0，外部偏压完全降落在本征区。这样可得到图 1(c) 所示的电场分布。以下处理都针对光由 P<sub>1</sub> 区入射，P<sub>1</sub> 端电压高于 P<sub>2</sub> 端，并假定正向结为小注入，正向结中电场方向与内建场方向相同。对于 P<sub>2</sub> 端电压高于 P<sub>1</sub> 端的情况，处理过程完全类似。

在以上假定下，忽略正向结中载流子碰撞电离，我们可以采用如下载流子速率方程

P<sub>1</sub> 区(少子电子)：

$$\frac{dN_{p1}}{dt} = G_{p1} - \frac{N_{p1}}{\tau_{npp1}} + \frac{I_{np1}}{q} \quad (1)$$

I<sub>1</sub> 区：

$$\frac{dN_{il}}{dt} = G_{il} - \frac{N_{il}}{\tau_{nil}} - \frac{N_{il}}{\tau_{ntil}} + \frac{I_{nnl}}{q} - \frac{I_{np1}}{q} \quad (2)$$

$$\frac{dP_{il}}{dt} = G_{il} - \frac{P_{il}}{\tau_{pri}} - \frac{P_{il}}{\tau_{ptil}} + \frac{I_{pp1}}{q} - \frac{I_{pn1}}{q} \quad (3)$$

N 区(少子空穴)：

$$\frac{dP_n}{dt} = G_n - \frac{P_n}{\tau_{prn}} + \frac{I_{pn1}}{q} - \frac{I_{pn2}}{q} \quad (4)$$

I<sub>2</sub> 区：

$$\frac{dN_{i2}}{dt} = G_{i2} + U_{hi2} \zeta_{i2} N_{i2} + U_{bi2} \zeta_{bi2} P_{i2} - \frac{N_{i2}}{\tau_{nri2}} - \frac{N_{i2}}{\tau_{nti2}} + \frac{I_{np2}}{q} \quad (5)$$

$$\frac{dP_{i2}}{dt} = G_{i2} + U_{hi2} \zeta_{i2} N_{i2} + U_{bi2} \zeta_{bi2} P_{i2} - \frac{P_{i2}}{\tau_{pri2}} - \frac{P_{i2}}{\tau_{pti2}} + \frac{I_{pn2}}{q} \quad (6)$$

P<sub>2</sub> 区(少子电子)：

$$\frac{dN_{p2}}{dt} = G_{p2} - \frac{N_{p2}}{\tau_{n_{p2}}} - \frac{I_{np2}}{q} \quad (7)$$

其中:

$N_{p1}, N_{i1}, N_{i2}, N_{p2}$  分别为  $P_1, I_1, I_2, P_2$  区过剩电子总数;  $P_{i1}, P_n, P_{i2}$  分别为  $I_1, N, I_2$  区过剩空穴总数;  $G_{p1}, G_{i1}, G_n, G_{i2}, G_{p2}$  分别为入射光在  $P_1, I_1, N, I_2, P_2$  区的电子-空穴对产生率;  $\tau_{n_{p1}}, \tau_{n_{i11}}, \tau_{n_{i12}}, \tau_{n_{p2}}$  分别为  $P_1, I_1, I_2, P_2$  区电子复合寿命;  $\tau_{p_{i11}}, \tau_{p_m}, \tau_{p_{i12}}$  分别为  $I_1, N, I_2$  区空穴复合寿命;  $\tau_{n_{i11}}, \tau_{n_{i12}}, \tau_{p_{i11}}, \tau_{p_{i12}}$  分别为电子和空穴在  $I_1, I_2$  区的渡越时间;  $q$  为电子电荷;  $I_{np1}/q$  为  $I_1$  区注入到  $P_1$  区的少子(电子)扩散流,  $I_{pp1}/q$  为  $P_1$  区注入到  $I_1$  区的多子(空穴)流。关于多子流的计算, 这里做一点说明: 对于小的光产生情况,  $P_1$  区的多子密度改变可忽略, 多子流可认为只与结偏压有关, 而与光照无关, 这样, 可在无光照和  $I_1$  区无雪崩增益以及无复合的情况下得到以下涉及的多子流的计算与此相同  $I_{nn1}/q$  为  $N$  区注入到  $I_1$  区的多子(电子)流,  $I_{pn1}/q$  为  $I_1$  区注入到  $N$  区的少子(空穴)扩散流,  $I_{pn2}/q$  为  $N$  区注入到  $I_2$  区的少子(空穴)扩散流,  $I_{np2}/q$  为  $P_2$  区注入到  $I_2$  区的少子(电子)扩散流。 $u_{i11}, u_{i12}, u_{p_{i11}}, u_{p_{i12}}$  分别为电子和空穴在  $I_1, I_2$  区的漂移速度,  $\zeta_{i11}, \zeta_{i12}, \zeta_{p_{i11}}, \zeta_{p_{i12}}$  分别为电子和空穴在  $I_1, I_2$  区的碰撞离化率。

对于雪崩区电场不均匀的情况, 方程(5)、(6)中的雪崩增益项不能写成这样简单的形式。

对  $I_1$  和  $I_2$  区采用电中性条件,  $P_{i1} = N_{i1}, P_{i2} = N_{i2}$ , 方程(3)、(6)可省略, 方程(5)可进一步写为

$$\frac{dN_{p2}}{dt} = G_{i2} + (u_{i12}\zeta_{i12} + u_{p_{i12}}\zeta_{p_{i12}})N_{i2} - \frac{N_{i2}}{\tau_{n_{i12}}} - \frac{N_{i2}}{\tau_{n_{i12}}} + \frac{I_{np2}}{q} \quad (8)$$

下面给出几个重要关系式:

$$G_j = \frac{P_{in}(1 - R)\exp\left[-\sum_{k=1}^{j-1}\alpha_k(\lambda)W_k\right]}{h\nu}\{1 - \exp[-\alpha_j(\lambda)W_j]\}$$

其中  $j = 1, 2, 3, 4, 5$  分别对应  $p_1, i1, n, i2, p2$  当  $j = p1$  时, 上式中的求和项为 0

$$\tau_{n_{ij}} = \frac{W_i}{u_{ij}}, \quad \tau_{p_{ij}} = \frac{W_i}{u_{pj}}, \quad j = i1, i2$$

$$u_{ij} = \mu_{nj}F_j, \quad u_{pj} = \mu_{pj}F_j, \quad j = i1, i2$$

$$F_{i1} = \left| \frac{V_1 - V_{bil}}{W_{i1}} \right|, \quad F_{i2} = \left| \frac{V_2 + V_{bi2}}{W_{i2}} \right|, \quad V_1 + V_2 = V$$

其中  $P_{in}$  为入射光功率;  $R$  为  $P_1$  区端面反射率;  $h\nu$  为光子能量;  $\alpha_j, W_j$  分别为  $j (= p1, i1, n, i2, p2)$  区光功率吸收系数和宽度;  $\mu_{nj}, \mu_{pj}$  分别为  $j (= i1, i2)$  区电子和空穴迁移率;  $V$  为外加偏压;  $V_1$  为  $I_1$  区压降;  $V_2$  为  $I_2$  区压降;  $V_{bil}, V_{bi2}$  分别为  $P_1-I_1-N, P_2-I_2-N$  结内建势。

对于 a-Si H, 电子、空穴迁移率的场依赖关系是很复杂的, 可采用下面的形式<sup>[11~14]</sup>

$$\mu_{nj}(F_j) = \mu_{0nj}\exp(F_j/F_{0j}), \quad j = i1, i2$$

$$\mu_{pj}(F_j) = \mu_{0pj}\theta_j F_j, \quad j = i1, i2$$

其中  $F_{0j}, \mu_{0nj}, \mu_{0pj}$  分别为  $j (= i1, i2)$  区电场参数, 低场电子和空穴迁移率;  $\theta$  为经验参数。

关于空穴迁移率与电场的关系报道的很少, 上面给出空穴迁移率与电场的关系是我们根据文献[14]提供的数据得到的近似关系。

电子、空穴离化率可采用如下经验公式<sup>[15, 16]</sup>

$$\begin{aligned}\zeta_j(F_j) &= a_{nj} \exp[-(b_{nj}/F_j)], \quad j = i1, i2 \\ \zeta_j(F_j) &= a_{pj} \exp[-(b_{pj}/F_j)], \quad j = i1, i2\end{aligned}$$

其中  $a_{nj}, b_{nj}, a_{pj}, b_{pj}$  为经验参数, 可通过与实验数据的曲线拟合得到

为提高数值处理精度, 引入一个归一化常数  $C_{no}$  (可看作是一个电容), 并令

$$V_{nj} = \frac{qN_i}{C_{no}}, \quad j = p1, i1, i2, p2, \quad V_{pn} = \frac{qP_n}{C_{no}}$$

(1)、(2)、(4)、(7)、(8)式可化为

$$\frac{P_{in}}{R_{op1}} = C_{no} \frac{dV_{np1}}{dt} + \frac{V_{np1}}{R_{np1}} - I_{np1} \quad (9)$$

$$\frac{P_{in}}{R_{oi1}} = C_{no} \frac{dV_{ni1}}{dt} + \frac{V_{ni1}}{R_{ni1}} + \frac{V_{ni1}}{R_{nti1}} - I_{nn1} + I_{np1} \quad (10)$$

$$\frac{P_{in}}{R_{on}} = C_{no} \frac{dV_{pn}}{dt} + \frac{V_{pn}}{R_{pn}} - I_{pn1} + I_{pn2} \quad (11)$$

$$\frac{P_{in}}{R_{oi2}} = C_{no} \frac{dV_{ni2}}{dt} + \frac{V_{ni2}}{R_{ni2}} + \frac{V_{ni2}}{R_{nti2}} - I_{ag12} - I_{np2} \quad (12)$$

$$\frac{P_{in}}{R_{op2}} = C_{no} \frac{dV_{np2}}{dt} + \frac{V_{np2}}{R_{np2}} + I_{np2} \quad (13)$$

其中

$$R_{oj} = \frac{h\nu \exp\left(\sum_{k=1}^{j-1} \alpha_k W_k\right)}{q(1-R)[1-\exp(-\alpha_j W_j)]}, \quad j = p1, i1, n, i2, p2$$

$$R_{nrfj} = \tau_{nrfj}/C_{no}, \quad j = p1, i1, n, i2, p2$$

$$R_{ntj} = \tau_{ntj}/C_{no}, \quad j = i1, i2$$

$$I_{ag12} = C_{no} V_{ni2} (u_{hi2} \zeta_{i2} + u_{pi2} \zeta_{p2})$$

$$I_{ntj} = V_{nj}/R_{ntj}, \quad j = i1, i2$$

方程(9)~(13)中涉及到多子流和少子流, 即  $I_{xxx}$  项, 需要由稳态连续性方程推出, 结果如下

$$\begin{aligned}I_{pp1} &= \frac{qP_{p0}L_{pn}}{W_n \tau_{pm} \sinh(W_n/L_{pn})} \{ \operatorname{ch}(W_n/L_{pn}) [\exp(qV_1/kT) - 1] \\ &\quad + 1 - \exp(-qV_2/kT) \} \end{aligned}$$

$$I_{nn1} = \frac{qN_{p10}L_{np1} \operatorname{ch}(W_{p1}/L_{np1})}{W_{p1} \tau_{np1} \sinh(W_{p1}/L_{np1})} [\exp(qV_1/kT) - 1]$$

$$I_j = \frac{V_j}{R_{dj}} + \beta_j P_{in} + I_{j0}, \quad j = np1, np2, pn1, pn2$$

其中,

$$V_{pn1} = V_{pn2} = V_{pn}$$

$$R_{dpn1} = -\frac{\tau_{pn1}}{C_{no}} [\operatorname{ch}(W_{p1}/L_{np1}) - 1]$$

$$R_{dpn2} = \frac{\tau_{pn2}}{C_{no}} [\operatorname{ch}(W_{p2}/L_{np2}) - 1]$$

$$R_{dpn1} = -\frac{\tau_{pn}}{C_{no}} [\operatorname{ch}(W_n/L_{pn}) - 1]$$

$$\begin{aligned}
R_{dpn2} &= \frac{T_{pn}}{C_{no}} [\operatorname{ch}(W_n/L_{pn}) - 1] \\
I_{np10} &= \frac{qN_{p1}L_{np1}[\operatorname{ch}(W_{p1}/L_{np1}) + 1]}{W_{p1}\tau_{np1}\operatorname{sh}(W_{p1}/L_{np1})} [\exp(qV_1/kT) - 1] \\
I_{np20} &= \frac{qN_{p2}L_{np2}[\operatorname{ch}(W_{p2}/L_{np2}) + 1]}{W_{p2}\tau_{np2}\operatorname{sh}(W_{p2}/L_{np2})} [\exp(-qV_2/kT) - 1] \\
I_{pn10} &= \frac{qP_nL_{pn}[\operatorname{ch}(W_n/L_{pn}) + 1]}{W_n\tau_{pn}\operatorname{sh}(W_n/L_{pn})} [\exp(qV_1/kT) - 1] \\
I_{pn20} &= \frac{qP_nL_{pn}[\operatorname{ch}(W_n/L_{pn}) + 1]}{W_n\tau_{pn}\operatorname{sh}(W_n/L_{pn})} [\exp(-qV_2/kT) - 1] \\
\beta_{np1} &= -\frac{q(1-R)}{h\nu} \frac{\alpha_p L_{np1}^2}{1 - \alpha_p^2 L_{np1}^2} \left\{ \frac{[\operatorname{ch}(W_{p1}/L_{np1}) + 1]\exp(-\alpha_p W_{p1})}{L_{np1}\operatorname{sh}(W_{p1}/L_{np1})} \right. \\
&\quad \left. + \frac{\exp(-\alpha_p W_{p1}) - 1}{\alpha_p L_{np1}^2 [\operatorname{ch}(W_{p1}/L_{np1}) - 1]} + \alpha_p \exp(-\alpha_p W_{p1}) \right\} \\
\beta_{np2} &= \frac{q(1-R)\exp\left(-\sum_{j=1}^4 \alpha_j W_j\right)}{h\nu} \frac{\alpha_p L_{np2}^2}{1 - \alpha_p^2 L_{np2}^2} \left\{ \frac{\operatorname{ch}(W_{p2}/L_{np2}) + 1}{L_{np2}\operatorname{sh}(W_{p2}/L_{np2})} \right. \\
&\quad \left. + \frac{\exp(-\alpha_p W_{p2}) - 1}{\alpha_p L_{np2}^2 [\operatorname{ch}(W_{p2}/L_{np2}) - 1]} - \alpha_p^2 \right\} \\
\beta_{pn1} &= -\frac{q(1-R)\exp\left(-\sum_{j=1}^2 \alpha_j W_j\right)}{h\nu} \frac{\alpha_n L_{pn}^2}{1 - \alpha_n^2 L_{pn}^2} \left\{ \frac{\operatorname{ch}(W_n/L_{pn}) + 1}{L_{pn}\operatorname{sh}(W_n/L_{pn})} \right. \\
&\quad \left. + \frac{\exp(-\alpha_n W_n) - 1}{\alpha_n L_{pn}^2 [\operatorname{ch}(W_n/L_{pn}) - 1]} - \alpha_n^2 \right\} \\
\beta_{pn2} &= \frac{q(1-R)\exp\left(-\sum_{j=1}^2 \alpha_j W_j\right)}{h\nu} \frac{\alpha_n L_{pn}^2}{1 - \alpha_n^2 L_{pn}^2} \left\{ \frac{[\operatorname{ch}(W_n/L_{pn}) + 1]\exp(-\alpha_n W_n)}{L_{pn}\operatorname{sh}(W_n/L_{pn})} \right. \\
&\quad \left. + \frac{\exp(-\alpha_n W_n) - 1}{\alpha_n L_{pn}^2 [\operatorname{ch}(W_n/L_{pn}) - 1]} + \alpha_n \exp(-\alpha_n W_n) \right\}
\end{aligned}$$

其中  $P_{n0}, N_{p10}, N_{p20}$  为平衡态 N, P1, P2 区少子个数;  $L_{nj}, L_{pj}, D_{nj}, D_{pj}$  分别为  $j (= p1, i1, n, i2, p2)$  区电子、空穴扩散长度和扩散系数, 且有关系  $L_{nj}^2 = D_{nj}\tau_{nij}$ ,  $L_{pj}^2 = D_{pj}\tau_{pjj}$ ,  $k$  为 Boltzmann 常数;  $T$  为绝对温度。

考虑器件各界面电流相等, 对于 I-N, I-N 两界面, P N IP-PD 的端电流可写为

$$I_J = I_{nn1} + I_{pn1} - I_{nti1} + C_{j1} \frac{dV_1}{dt} = I_{pn2} + I_{nti2} + C_{j2} \frac{dV_2}{dt} + I_d \quad (14)$$

其中,

$$C_{j1} = \frac{\epsilon_0 \epsilon A}{W_{i1}}, \quad C_{j2} = \frac{\epsilon_0 \epsilon A}{W_{i2}}$$

其中  $\epsilon_0$  为真空介电常数;  $\epsilon$  为材料相对介电常数;  $A$  为器件面积;  $I_d$  为反向结隧穿漏电流, 可写为<sup>[7]</sup>

$$I_d = \frac{\Theta A V_2 (V_2 + V_{BD})}{W_{i2}} \exp\left(-\frac{\Theta W_{i2}}{V_2 + V_{BD}}\right)$$

其中  $\Theta_1, \Theta_2$  为两个经验参数

考虑 P N IP-PD 的寄生串联电阻  $R_s$ , 寄生漏电阻  $R_d$ , 寄生电容  $C_s$ , 由(9)~(14)式可得到如图 2 所示的 P N IP-PD 电路模型

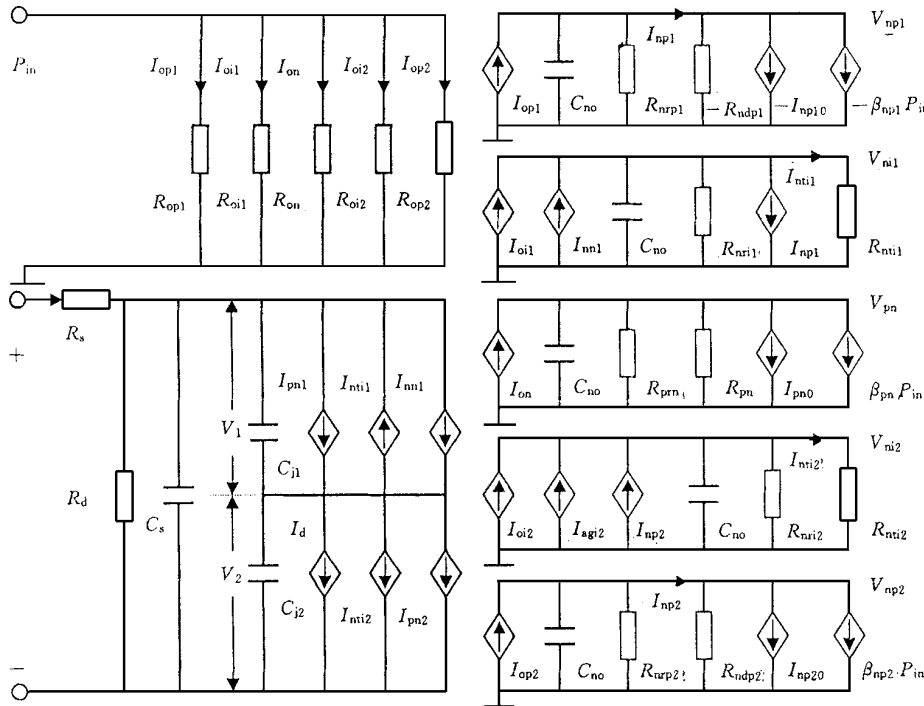


图 2 P N IP-PD 电路模型

这里应说明的是, 在用此模型进行直流求解时, 必须满足条件  $u_h \zeta_g + u_b \zeta_g < 1/\tau_{nr} + 1/\tau_{nt}$ , 否则得到的结果没有意义。 $u_h \zeta_g + u_b \zeta_g$  为雪崩增益,  $1/\tau_{nr} + 1/\tau_{nt}$  为复合损耗和传输损耗, 当雪崩增益等于总损耗时就出现雪崩击穿, 因此, 只能  $u_h \zeta_g + u_b \zeta_g$  无限接近  $1/\tau_{nr} + 1/\tau_{nt}$ , 但不能相等。此外, 由这个条件可得到雪崩击穿电压

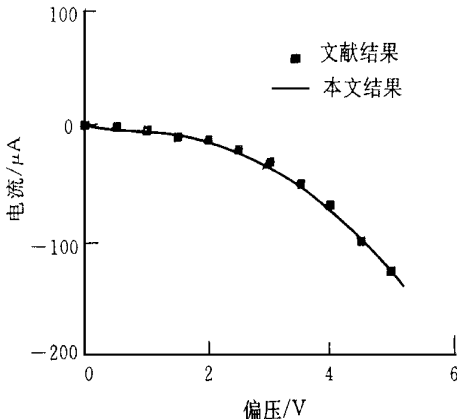


图 3 暗电流特性

### 3 模型验证

为验证本模型的正确性, 我们与文献[8]给出的结果进行了比较。器件结构及相关参数参见文献[8]。本文采用的模型参数见表 1。表中给出的参数主要取自文献[8], 对于一些无法从文献[8]中得到的参数, 如载流子寿命, 扩散长度等, 有的来自其它文献, 有的取典型值。

比较结果见图 3~5。分别给出正偏压下暗电流曲线, 蓝光照射下的光电流曲线和红光照射下的光电流曲线。比较证明, 本文给出的模型构造方

法是可行的,给出的电路模型是正确的

表 1 模型参数

参数/单位	值	参数/单位	值
$W_{p1}/\text{nm}$	5	$C_{no}$	$1 \times 10^{-12}$
$W_{il}/\text{nm}$	70	$R_s/\Omega$	10
$W_n/\text{nm}$	200	$R_d/\Omega$	$1 \times 10^6$
$W_{i2}/\text{nm}$	350	$C_s/\text{pF}$	1
$W_{p2}/\text{nm}$	40	$\mu_{0n}/(\text{cm}^2 \cdot \text{V}^{-1} \cdot \text{s}^{-1})$	1. 2
$\tau_{nr}/\text{ns}$	100	$\mu_{0p}/(\text{cm}^2 \cdot \text{V}^{-1} \cdot \text{s}^{-1})$	$4 \times 10^{-3}$
$\tau_p/\text{ns}$	6500	$F_0/(\text{V} \cdot \text{cm}^{-1})$	$1 \times 10^6$
$\alpha_{p1}, \alpha_0, \alpha_{p2}/\text{cm}^{-1}$	0	$\theta/(\text{cm} \cdot \text{V}^{-1})$	$1 \times 10^{-6}$
$\alpha_{i1}/\text{cm}^{-1}$	$3 \times 10^5$ (蓝), $4 \times 10^5$ (红)	$a_n, a_p/\text{cm}^{-1}$	$1 \times 10^4$
$\alpha_{i2}/\text{cm}^{-1}$	70(蓝), $1.5 \times 10^4$ (红)	$b_n, b_p/(\text{V} \cdot \text{cm}^{-1})$	$2 \times 10^5$
$R$	0	$L_n/\text{nm}$	10
$\lambda/\mu\text{m}$	0.63(蓝), 0.43(红)	$L_p/\text{nm}$	5
$V_{BII}/\text{V}$	1.2	$\epsilon_s$	11.9
$V_{Bi2}/\text{V}$	1.0	$A/\text{mm}^2$	120
$\Theta_1$	$3.7 \times 10^{-8}$	$\Theta_2$	$2 \times 10^7$

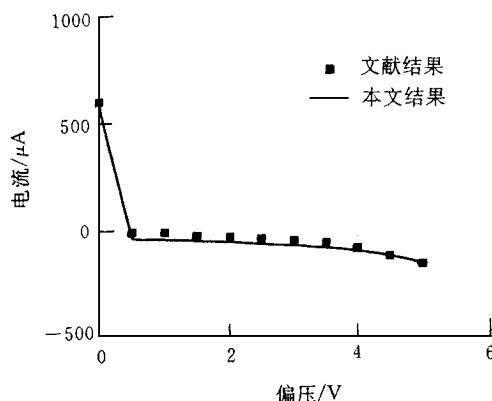


图 4 蓝光照射下的光电流特性

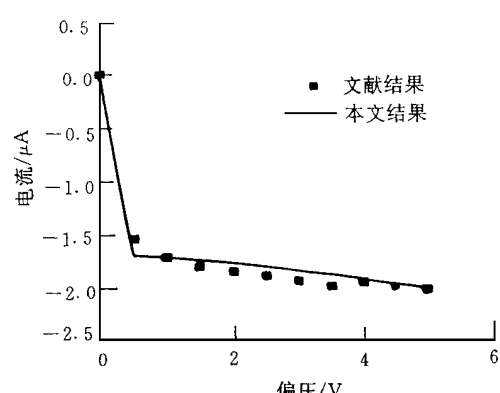


图 5 红光照射下的光电流特性

## 4 结论

以载流子速率方程为基础,在适当的假定条件下,经过大量的推导工作,我们给出了一个比较完整的 PN IP-PD 电路模型 在这个模型中,有些表达式比较复杂,可以通过引入一些经验参数,使之简化,这些经验参数可以通过参数提取得到

## 参 考 文 献

- [1] Tucker R. S., IEEE Trans Microw. Theory Tech., 1983, **31**(3): 289~ 294
- [2] 陈维友, 刘式墉, 半导体学报, 1991, **12**(7): 416~ 422
- [3] Chen Weiyou, Liu Shiyong, IEEE J. Quantum Electron., 1996, **32**(12): 2128~ 2132

- [ 4 ] Gao D. S , Kang S M. *et al* , IEEE J. Quantum Electron , 1990, **26**(7): 1206~ 1216
- [ 5 ] Chen W eiyou,L iu Shiyong, Journal of Electronics (Chinese), 1994, **11**(4): 377~ 382
- [ 6 ] 陈维友, 刘宝林, 刘式墉, 电子学报, 1994, **22**(11): 95~ 97.
- [ 7 ] Chen W eiyou,L iu Shiyong, IEEE J. Quantum Electron , 1996, **32**(12): 2105~ 2111.
- [ 8 ] Cesare G , Irrera F , Lemmi F , Palma F , IEEE Trans Electron Devices, 1995, **42**(5): 835~ 839.
- [ 9 ] Tsai H. K ,Lee S C ,Appl Phys Lett ,1988, **52**(4): 275~ 277.
- [ 10 ] Eberhardt K ,Neidinger T , Schubert M. B , IEEE Trans Electron Devices, 1995, **42**(10): 1763~ 1768
- [ 11 ] Antoniadis I ,Devlen R. I ,Esipov S *et al* ,J. Non-Cryst Solids, 1991, **137&138**: 407~ 410
- [ 12 ] Juska G ,J. Non-Cryst Solids, 1991, **137&138**: 401~ 406
- [ 13 ] Inao S ,Nakajima S ,Nakata J. *et al* ,Jpn J. Appl Phys ,1991, **30**(7B):L 1227~ L 1230
- [ 14 ] Marshall J. M. ,Street R. A. ,Thompson M. J. *et al* ,J. Non-Cryst Solids, 1987, **97&98**: 563~ 566
- [ 15 ] Chang C. Y. ,Hong J. W. ,Fang Y. K , IEE Proc ,Part J. ,1991, **138**(3): 226~ 234
- [ 16 ] Jwo S C ,Wu M. T. ,Fang Y. K *et al* , IEEE Trans Electron Devices, 1988, **35**(8): 1279~ 1283

## Circuit Model of PIN IP a-Si H Photodiodes

Chen W eiyou, L iu Shiyong

(Department of Electronics Engineering Jilin University, Changchun 130023)

Received 7 February 1998, revised manuscript received 7 July 1998

**Abstract** Based on the carriers rate-equations, we have presented a complete circuit model of PIN IP structure a-Si H photodiodes for the circuit-level simulation. This model can be used as a SPICE model, also can be used in the simulator developing for OEC.

**EEACC:** 4140, 4130, 1130B